

УСТОЙЧИВЫЕ И НЕУСТОЙЧИВЫЕ РЕЖИМЫ РОСТА ВЕРШИНЫ ДЕНДРИТА В ПЕРЕОХЛАЖДЕННОМ РАСПЛАВЕ ЧИСТОГО ВЕЩЕСТВА

Шабловский О.Н., Кроль Д.Г.

Гомельский государственный технический университет имени П.О. Сухого,
Гомель, Республика Беларусь, *shablovsky-on@yandex.ru*

Введение. Дендритный рост кристалла из переохлажденного расплава чистого вещества происходит при достаточно больших переохлаждениях: например, для никеля при $\Delta T > 57\text{K}$. Эволюционные свойства линии роста дендрита в значительной степени детерминированы процессами, происходящими на его вершине. В настоящей работе представлены два подхода к теоретическому исследованию возмущенного состояния вершины дендрита. В качестве примеров расчета рассматриваются переохлажденные расплавы никеля и меди. Актуальность этой задачи обусловлена современными экспериментальными данными измерений скорости роста кристалла (20–70 м/с) при переохлаждениях, достигающих 300 К [1]. В таких условиях система «расплав - кристалл» находится в отчетливо выраженном локально-неравновесном состоянии, и для ее изучения необходимо применять неклассический термодинамический подход [2]. Современное состояние теоретических и экспериментальных исследований физики роста дендритов представлено в статьях и обзорах [3-6].

Цель данной работы: указать два подхода к решению названной проблемы и продемонстрировать их возможности при анализе устойчивых и неустойчивых состояний вершины дендрита.

Моделирование линии роста кристалла.

Рассмотрим двухмерный плоский случай. Фазовую границу кристаллизации (ФГК) моделируем плоской линией сильного разрыва $x - F(y, t) = 0$. Средняя кривизна этой границы равна $K = (\partial^2 F / \partial y^2) / G^3$, $G = (1 + (\partial F / \partial y)^2)^{1/2}$. Здесь координата x направлена вдоль оси симметрии

дендрита в сторону твердой фазы; y – поперечная декартова координата. Для дальнейших рассуждений важное значение имеет угол θ , который образует нормаль \mathbf{n} границы с осью x : $\cos\theta = 1/G$. ФГК перемещается со скоростью N справа налево ($\mathbf{N} = N\mathbf{n}$, $N < 0$), и на ее вершине $\partial F / \partial y = 0$, $\cos\theta = 1$. По мере удаления от вершины $\cos\theta$ монотонно убывает: $\cos\theta \rightarrow 0$, $\theta \rightarrow \pi/2$. Угол заострения линии роста равен $\theta_1 = (\pi/2) - \theta$, рисунок 1. Теплофизические свойства расплава и кристалла берем постоянными. Это допущение оправдано тем, что относится к уже сформировавшемуся сильному разрыву.

Уравнение роста $N \equiv (\partial F / \partial t) / G = -\mu(T_e - T_j)$ имеет вид [7]:

$$\partial^2 F / \partial y^2 = \alpha B + \varphi(\partial F / \partial t)[1 + (\partial F / \partial y)^2], \quad \alpha = L/(UT_c), \quad \varphi = \alpha / \mu. \quad (1)$$

Приняты обозначения: L – теплота фазового перехода единицы объема вещества; μ – кинетический коэффициент роста; T_e – температура равновесия между твердой и жидкой фазами; T_c – равновесная температура кристаллизации; U – поверхностная энергия границы раздела фаз; B – переохлаждение на вершине дендрита; ΔT – переохлаждение расплава; c – объемная теплоемкость; λ – коэффициент теплопроводности; $N_m = -N > 0$. При выводе этого уравнения была учтена пространственная неоднородность переохлаждения ФГК.

Дифференциальное уравнение, описывающее малое возмущение $f = f(y, t)$ стационарного контура линии роста, имеет вид

$$\partial^2 f / \partial y^2 = B_1(\partial f / \partial y) + B_2(\partial f / \partial t), \quad (2)$$

$$A_1 = -\mu B / (1 + A_2^2) < 0, \quad A_2 > 0, \quad B_1 = 2\varphi A_1 A_2 < 0, \quad B_2 = (1 + A_2^2)\varphi > 0; \quad A_1, A_2, B \equiv \text{const}. \quad (3)$$

Линеаризация уравнения (1) в виде $F(y, t) = F^0(y, t) + f(y, t)$, была выполнена на точном решении $F^0 = A_1 t + A_2 y$, которое определяет с заданной точностью клиновидный контур линии роста на конечном удалении от вершины дендрита.

Параметр B_1 , содержащий $A_1 A_2$, несет информацию о мультипликативном взаимодействии скорости ФГК и ее заострения: $A_1 = \frac{N}{\sin \theta_1}$, $A_2 = \frac{1}{\operatorname{tg} \theta_1}$.

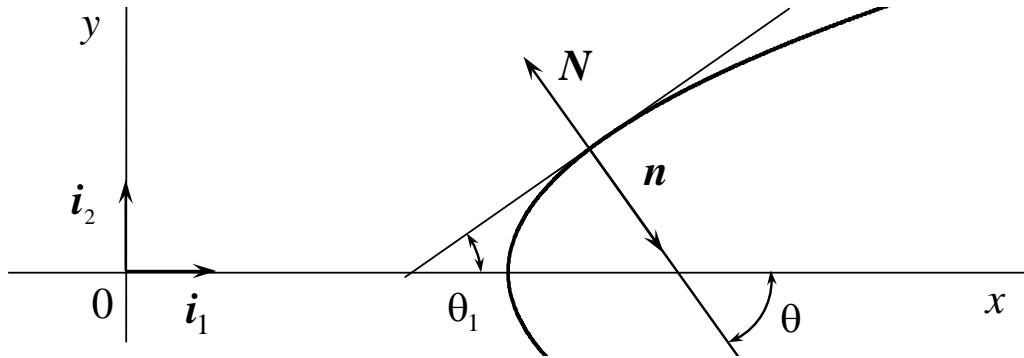


Рис. 1. Угол θ_1 заострения линии роста

Уравнение фазовой границы кристаллизации расплава для больших переохлаждений ΔT получено в [8-9] с учетом локально-неравновесных свойств теплопереноса в твердой фазе:

$$\begin{aligned} & (L + L_* + U_2 K) \frac{\partial N}{\partial t} + \frac{N}{\gamma} (L_* + U_2 K) - \frac{c N^2}{\gamma \mu} - \frac{3c}{\mu} N \frac{\partial N}{\partial t} + \\ & + L \gamma \frac{\partial^2 N}{\partial t^2} + 2U_2 N \frac{\partial K}{\partial t} + N(q_v + q_{nj} K) = 0, \quad \frac{\partial K}{\partial t} = \frac{\partial^2 N}{\partial y^2}. \end{aligned} \quad (4)$$

Точным решением этого уравнения является одиночный параболический дендрит $x = F_0(y, t)$, для которого $F_0(y, t) = N_0 t + (K_0 y^2 / 2)$.

Здесь $N_0 < 0$; $N_m = -N_0$; $K_0 > 0$ - кривизна вершины дендрита. Исходные уравнения ФГК (4) определяют локальный по координате y закон распространения линии роста в малой окрестности вершины $y = 0$. Для возмущенной линии роста $x = F(y, t)$ процедура линеаризации вида $F(y, t) = F_0(y, t) + f(y, t)$ дает уравнение, определяющее эволюцию малого возмущения $f(y, t)$, [9]:

$$\frac{\partial}{\partial t} \left(\frac{\partial^2 f}{\partial t^2} - \alpha_0 \frac{\partial^2 f}{\partial y^2} \right) + \alpha_1 \frac{\partial f}{\partial t} + \alpha_2 \frac{\partial^2 f}{\partial t^2} - \alpha_3 \frac{\partial^2 f}{\partial y^2} = 0, \quad (5)$$

$$\alpha_i = s_i / (L\gamma), \quad i = 0, 1, 2, 3;$$

$$s_0 = -2N_0U_2, \quad s_1 = (2K_0N_0^2c/\mu) - (cN_0/\gamma\mu) - K_0N_0L_* - K_0^2N_0U_2, \quad (6)$$

$$s_2 = L + L_* + K_0U_2 - (3cN_0/\mu) - K_0N_0L\gamma,$$

$$s_3 = 2K_0N_0^2U_2 + N_0^2L_* - (N_0U_2/\gamma) - (cN_0^3/\mu);$$

$$L_* = L - c_*\Delta T, \quad U_1 = U/L, \quad U_2 = cT_cU_1.$$

Здесь c_* - объемная теплоемкость расплава; γ - время релаксации теплового потока; $N = \partial F/\partial t$; $K = \partial^2 F/\partial y^2$; $q_{nj} = N[(cN/\mu) - U_2K - L_*] - L\gamma(\partial N/\partial t)$; $U_2 = cT_cU_1$; $U_1 = U/L$; $L_* = L - c_*\Delta T$; $q_u < 0$ - объемный сток энергии, который моделирует отвод тепла от твердой фазы. Остальные подробности вывода уравнения ФГК и уравнения возмущений (5) изложены в [9]. Для подсчета зависимости коэффициентов $\alpha_i = \alpha_i(\Delta T)$ применяем полуэмпирические функции $N_m = N_m(\Delta T)$ и $\mu = \mu(\Delta T)$, полученные в [6] для никеля и меди. Числовые расчеты выполнены при следующих значениях кинетических и теплофизических параметров.

Никель, Ni: $166 \leq \Delta T, K \leq 312$; $T_c = 1728 \text{ К}$, $L = 2,14 \cdot 10^9 \text{ Дж/м}^3$, $U = 0,37 \text{ Дж/м}^2$,

$$N_m, \text{ м/с} = -13,420624 + 0,28349333 \cdot \Delta T - 0,00014256896 \cdot \Delta T^2,$$

$$c = 5,62 \cdot 10^6 \text{ Дж/(м}^3 \cdot \text{К)},$$

$$\mu, \text{ м/(с град)} = -1,431334 + 0,066524 \cdot \Delta T - 2,954532 \cdot 10^{-6} \cdot \Delta T^2, \quad \gamma = 1,3804 \cdot 10^{-7} \text{ с},$$

$$c_* = 6,0403 \cdot 10^6 \text{ Дж/(м}^3 \cdot \text{К)}, \quad \lambda = 69 \text{ Вт/(м} \cdot \text{К)}.$$

Медь, Cu: $180 \leq \Delta T, K \leq 230$; $T_c = 1357 \text{ К}$, $L = 1,77 \cdot 10^9 \text{ Дж/м}^3$, $U = 0,26 \text{ Дж/м}^2$,

$$N_m, \text{ м/с} = -351,30086 + 3,1413105 \cdot \Delta T - 0,0054439132 \cdot \Delta T^2;$$

$$c = 4,17 \cdot 10^6 \text{ Дж/(м}^3 \cdot \text{К)},$$

$$\mu, \text{ м/(с град)} = 35,326602 - 851,17268 \cdot \exp(-0,019538945 \cdot \Delta T); \quad \gamma = 4,763 \cdot 10^{-7} \text{ с},$$

$$c_* = 4,45267 \cdot 10^6 \text{ Дж/(м}^3 \cdot \text{К)}, \quad \lambda = 317 \text{ Вт/(м} \cdot \text{К)}.$$

В формулах (6) кривизна K_0 - свободный параметр, числовое значение которого мы берем на основе известных в литературе результатов экспериментальных измерений. В представленной здесь серии расчетов было принято для всех вариантов $R_0 = 1/K_0 = 0,2 \cdot 10^{-6}$ м; характерные масштабы времени и поперечного размера такие: $t_b = 10^{-7}$ с, $y_b = 10^{-6}$ м.

Волна возмущения линии роста. Берем за основу решение

$$f(y,t)/H = \exp(-ky) \exp \left[\left(h_1 + \frac{k^2}{B_2} \right) t + h_2 y \right], \quad h_1 = -B_1^2 / (4B_2) < 0, \quad h_2 = B_1 / 2 < 0.$$

где $y \geq 0$, $t \geq 0$; H , k – произвольные постоянные; посредством выбора H это решение можно сделать сколь угодно малым. Волна

$$h_2 y = - \left(h_1 + \frac{k^2}{B_2} \right) t + \text{const}$$

распространяется по неоднородному фону $f_0(y)/H = \exp(-ky)$, $k > 0$, $y \geq 0$ со скоростью

$$V = - \frac{2}{B_1 B_2} \left(k^2 - \frac{B_1^2}{4} \right). \quad (7)$$

Формулы для $B_1 < 0$, $B_2 > 0$ записаны в (3). Характерная ширина зоны неоднородности равна $y_1 = 1/(-k)$. Из (7) ясно, что волна движется от вершины на периферию дендрита ($V > 0$), если $k^2 > (B_1^2/4)$, т.е. при $[k^2 / (\varphi^2 A_1^2)] > A_2^2$ или, что то же самое, при $k^2 > k_*^2$,

$$k_*^2 = \frac{\varphi^2 N^2}{\sin^2 \theta_1 \text{tg}^2 \theta_1} = (B_1^2 / 4).$$

Волна движется с периферии дендрита к вершине ($V < 0$), если $k^2 < k_*^2$. Здесь k_* характеризует пороговую ширину зоны неоднородности исходного возмущения, причем $V(k^2 = k_*^2) = 0$. Процесс устойчивый и решение аperiodическое по t ,

если $V < 0$: волна идет с периферии к вершине, $k^2 < k_*^2$. Процесс неустойчивый, если $V > 0$: волна идет от вершины на периферию, $k^2 > k_*^2$. На основе формулы (7) получаем

$$V^2 = \frac{(k^2 - \varphi^2 A_1^2 A_2^2)^2}{[\varphi^2 A_1 A_2 (1 + A_2^2)]^2}. \quad (8)$$

Здесь $V^2 \rightarrow \infty$ при $A_2 \rightarrow 0$, т.е. при $\theta_1 \rightarrow (\pi/2)$. Если $A_2 \rightarrow \infty$, т.е. $\theta_1 \rightarrow 0$, то $V^2 \rightarrow 0$. В данном случае имеем экспоненциальный по t характер возбуждения волны при $y = 0$. Функция $V^2 = V^2(k^2, A_2^2)$ ведет себя немонотонно по отношению к аргументу A_2^2 . А именно: при каждом фиксированном $k > 0$ имеем $\partial(V^2)/\partial(A_2^2) = 0$ вдоль линии

$$k^2 = \varphi^2 A_1^2 \frac{A_2^2 (A_2^2 - 1)}{(1 + 3A_2^2)} = k_*^2 \frac{(A_2^2 - 1)}{(1 + 3A_2^2)},$$

которая существует при $A_2^2 > 1$, т.е. при $0 < \text{tg}\theta_1 < 1$. Функция V^2 имеет максимум по отношению к аргументу $\text{tg}\theta_1$, рисунок 2.

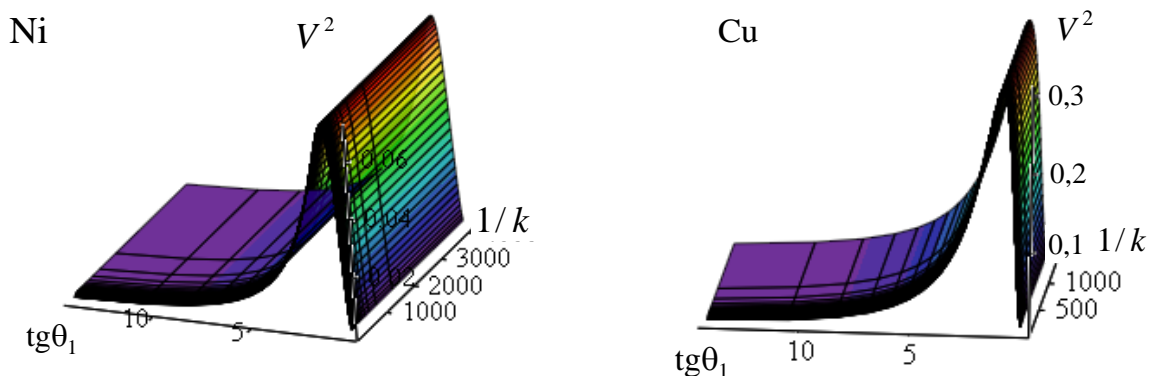


Рис. 2. Зависимость квадрата скорости волны возмущения (8) от ширины зоны неоднородности и от тангенса угла заострения линии роста

Влияние пространственной неоднородности линии роста. Решение уравнения (5) возьмем в виде: $f(y, t)/H = \exp(h_1 t + r y)$,

$$r = - \left[\frac{h_1(h_1^2 + \alpha_2 h_1 + \alpha_1)}{\alpha_0 h_1 + \alpha_3} \right]^{1/2} < 0, \quad h_1^\pm = \left(-\alpha_2 \pm \sqrt{\alpha_2^2 - 4\alpha_1} \right) / 2,$$

где h_1^\pm - действительные отрицательные числа. Волна возмущения $y = Vt$, $V = -h_1/(r_1 + r) > 0$ распространяется по апериодическому фону

$$f_0(y)/H = \exp(-r_1 y), \quad r_1 > 0.$$

Здесь характерные размеры пространственной неоднородности фона и возмущенной области равны соответственно $1/r_1$ и $1/(-r)$. Обозначим отношение этих размеров как $\delta_0 = r_1/(-r)$ и запишем скорость волны в виде

$$V(\delta_0 - 1) = h_1 / r.$$

Устойчивый режим существует ($V > 0$), если $\delta_0 > 1$. А это значит, что характерный размер зоны неоднородности увеличивается после прохождения фронта волны: $[1/(-r)] > (1/r_1)$. Типичный пример расчета показан на рисунке 3.

Истолкование двузначной зависимости $V(\delta_0 - 1)$ от $1/(-r)$ состоит в следующем. В данном режиме возбуждения одному значению r соответствуют два значения h_1 : $h_1^{(1)}$ и $h_1^{(2)}$, определяющие характерные времена затухания волны; см. корреляцию $1/(-h_1) \leftrightarrow 1/(-r)$ на рисунке 3. Тогда имеем два значения r_1 и два значения δ_0 , соответствующие одной и той же скорости волны V :

$$r_1^{(i)} = -r - (h_1^{(i)} / V), \quad \delta_0^{(i)} = r_1^{(i)} / (-r), \quad i = 1, 2.$$

Следовательно, одна и та же скорость волны наблюдается для двух ситуаций с параметрами $(r_1^{(1)}, h_1^{(1)})$ и $(r_1^{(2)}, h_1^{(2)})$.

Возьмем для сравнения неустойчивый апериодический режим возмущения линии роста: применяем прежнее решение, но теперь $h_1 > 0$ - любое положительное число; кроме того, имеем $r < 0$, $r_1 > 0$, $r_1 + r < 0$. Значит, скорость волны равна

$$V = h_1 / [-r(1 - \delta_0)] > 0.$$

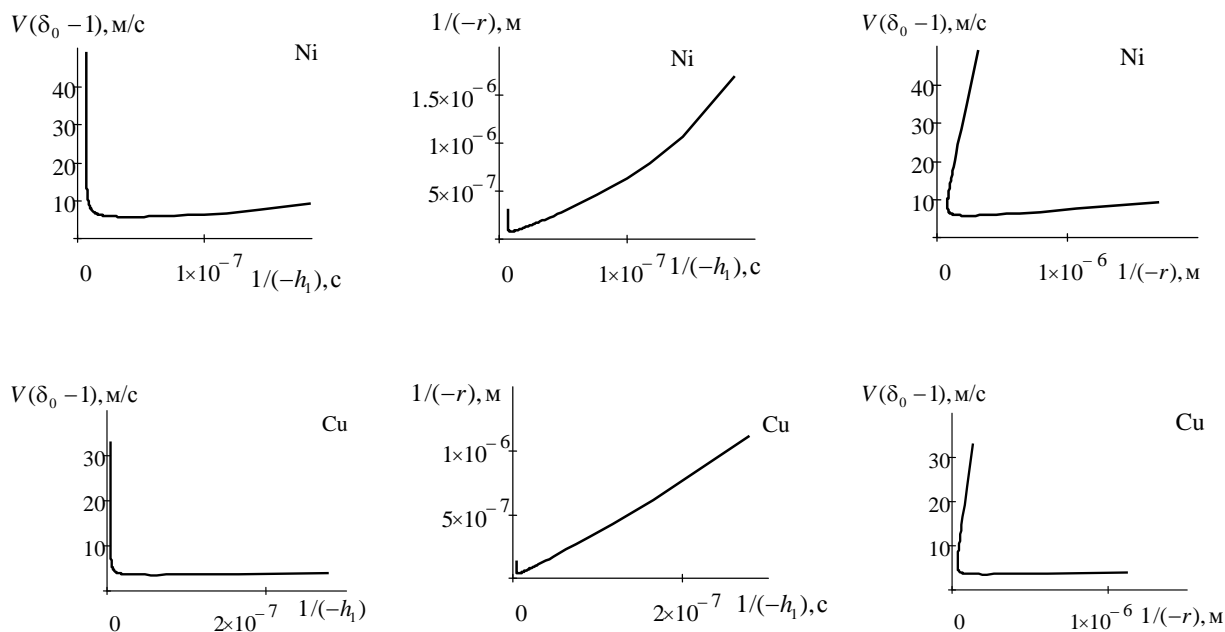


Рис. 3. Аперiodический по координате устойчивый режим возмущения.

Влияние характерных размеров пространственной неоднородности линии роста на свойства волны: Ni, $\Delta T = 166 \text{ K}$; Cu, $\Delta T = 190.2 \text{ K}$

Этот неустойчивый процесс возникает из-за того, что после прохождения фронта волны ширина зоны неоднородности уменьшается: $0 < \delta_0 < 1$. Расчеты показывают, что здесь отсутствует двузначность, присущая устойчивому режиму.

Заключение. Даны примеры устойчивых и неустойчивых состояний линии роста дендрита в переохлажденных расплавах никеля и меди. Важное отличие подхода, основанного на уравнении (5), от расчетов, основанных на уравнении (2), в том, что коэффициенты уравнения (5) зависят явным образом от переохлаждения расплава ΔT . В математическом отношении существенно, что (2) – это уравнение параболического типа, а уравнение (5) содержит два волновых оператора, которым соответствуют две «скорости звука» $w_1^2 = \alpha_0$, $w_2^2 = \alpha_3 / \alpha_2$, $0 < w_1^2 < w_2^2$. Это обстоятельство в значительной степени влияет на динамические свойства устойчивости / неустойчивости линии роста дендрита. В работе [10] дано подробное обсуждение дозвуковых, звуковых и

сверхзвуковых режимов распространения волн возмущения, бегущих со скоростью b : $b^2 \leq w_1^2 < w_2^2$; $w_1^2 < b^2 \leq w_2^2$; $w_1^2 < w_2^2 < b^2$.

Список литературы

1. Herlach, D.M. Metastable Solids from Undercooled Melts / D.M. Herlach, P. Galenko, D. Holland-Moritz –Oxford: Pergamon, 2007. – 448 p.
2. Жоу, Д. Расширенная необратимая термодинамика / Д. Жоу, Х Касас-Баскес, Дж. Лебон – Москва–Ижевск: НИЦ «Регулярная и хаотическая динамика». 2006. – 528 с.
3. Mullis, A.M. Deterministic side-branching during thermal dendritic growth / A.M. Mullis // IOP Conf. Series: Materials Science and Engineering. – 2015. – Vol. 84. – 012071. – P. 1-9.
4. Strickland, J. On Directional Dendritic Growth and Primary Spacing – A Review / J. Strickland, B. Nenchev // Crystals. – 2020. – Vol. 10. – №7. – P. 627-656.
5. Kurz, W. Progress in modeling solidification microstructures in metals and alloys. Part II: dendrites from 2001 to 2018 / W. Kurz, M. Rappaz, R. Trivedi //Int. Mater. Rev. – 2021. – Vol. 66. – №1. – P. 30-76.
<https://doi.org/10.1080/09506608.2020.1757894>
6. Шабловский, О.Н. Динамика неустойчивости волновых возмущений и боковое ветвление дендрита в переохлажденном расплаве / О.Н. Шабловский, Д.Г. Кроль // Успехи прикладной физики. – 2022. – №2. – С. 189-202.
7. Шабловский, О.Н. Морфологические свойства линии роста двумерного дендрита в переохлажденном расплаве / О.Н. Шабловский // Прикладная физика. – 2012. – №4. – С. 40–46.
8. Шабловский, О. Н. Кинетика роста вершины дендрита в глубоко переохлажденном расплаве. Часть I. Уравнение фазовой границы кристаллизации // Успехи прикладной физики. – 2013. – Т. 1, № 6. – С. 680–685.
9. Шабловский, О. Н. Кинетика роста вершины дендрита в глубоко переохлажденном расплаве. Часть II. Аналитическая структура возмущений

линии роста / О. Н. Шабловский // Успехи прикладной физики. — 2014.— Т. 2.— №1.— С. 12-17.

10. Шабловский, О. Н. Область устойчивости возмущенного состояния линии роста дендрита в глубоко переохлажденном расплаве / О. Н. Шабловский // Вестник Гомельского государственного технического университета имени П. О. Сухого: научно-практический журнал. – 2023. – № 1.— С. 5—12.